

媒介変数で表わされる水面波形を用いた波の浅水変形と碎波

浜 中 建 一 郎*

1. まえがき

従来、波の浅水変形に関する解析的取り扱いにおいては、水面波形は水平座標と時間座標との一価関係で表わされることが多い。例えば、浜中・加藤¹⁾(以下前報と呼ぶ)の浅水変形に対するストークス法的展開では、水平座標と時間座標軸上のフーリエ級数が用いられた。一方、碎波時においては周知のとおり、波の前面はきり立ち、さらに波頂部は前下方にせり出していく。この様な波形は前述の一価関数を用いている限り、いかに水底勾配の効果を考慮し、かつ高次近似解に展開しても表現することは出来ない。このことから本研究では、媒介変数を用いて水面波形を表わすことにより波前面のきり立ちや多価関数化を可能にし、この水面波形に従った自由表面境界条件式を導出し、摂動法を用いて解くことにより碎波点近傍の浅水変形解を提案する。

2. 解析方法

(1) 基礎方程式

各変量を前報と同様波動運動の角周波数と重力加速度で無次元化し、座標系を図-1の様にとる。流体は非粘性、非圧縮とし、運動は非回転とする。水粒子の速度ボテンシャルを ϕ とすると、流体内部では

水底では

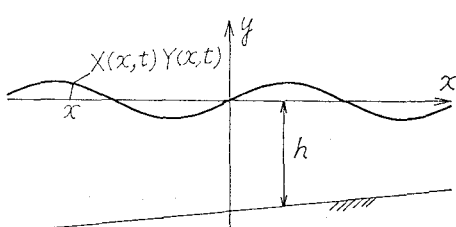


図-1 座 標 系

である。水面波形の x , y 座標を X , Y とし、これを媒介変数を用いて表わすのであるが、媒介変数として、 x , t を用い、

とする。この X , Y は静水時に x に居た水面の水粒子の運動時の x , y 座標とすることは非常に考え易い。しかし、ストークスドリフトや戻り流れ等の定常流が存在する変形波動場では解析が著しく困難となる。すなわち、これ等の定常流は場所的に異なり、特定の水粒子の一周期平均位置は時間と共に移動し、同時にその移動速度も時間と共に変化する。従って通常の摂動法は適用出来ない。のことから本研究では以下の様にして X , Y を与える。静水時に x の位置の水面に置かれたマーカーを考える。運動時のマーカーは、その位置での水粒子の持つ速度で動くと同時に定常流分だけ水面に沿って戻るもし、そのマーカーの x , y 座標を X , Y とする。このことにより、 X , Y は水面波形を表わすと同時に常にその初期位置の近傍だけを動くことになり、静水時の位置の回りでの Taylor 展開を用いた摂動展開が可能となる。この X , Y を用いて水面での運動学的境界条件を表わすと、

$$X_t = \phi_x - Q X_{\bar{x}} \quad \dots \dots \dots \quad (4)$$

である。ただし、 ϕ_x 、 ϕ_y の値は $x=X$ 、 $y=Y$ のものとする。又、 Q は上に述べた意味で定常流分をキャンセルするための x だけに依存する量である。

水面での力学的境界条件は、

であり、同様に ϕ は $x=X$, $y=Y$ での値とする。

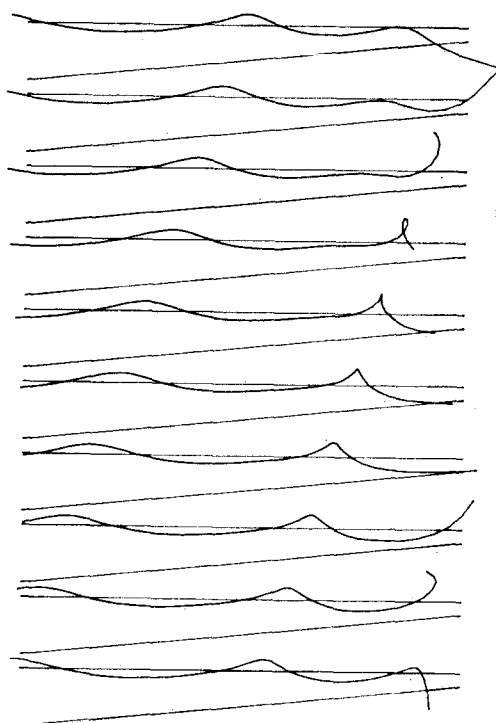
以上の(1)(2)(4)(5)(6)式が基礎方程式である。

(2) 插動展開

(4)～(6) 式の中の ϕ はマーカーの位置での値であるから、これをマーカーの静水時の位置 $(x, 0)$ の回りで Taylor が展開する。この時、 X の振動成分を \tilde{X} として、

とすると、

* 正会員 工博 北海道大学助手 工学部土木工学科

図-2 Wave profile, $h_x = -0.1$, $a_0 = 0.2$

ていく様子が分る。しかし、碎波の発生点として妥当と考えられる波前面が垂直にきり立った点を見ると、波後

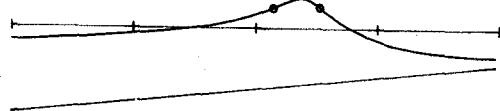


図-3 碎波発生点

面もきり立ち、波形は上方に向って尖り過ぎている。又、この点での波高・水深比を求めてみると、これまで報告されている実測値に比べかなり大きめな値となつた。そこで、碎波発生点として便宜的に図-3の様に、波の前面と後面で最大(最小)傾斜角となる2点で接線をとり、その交角が 120° となる時とした。図中波頂後の円印が接線を求めた点である。

図-4はその様にして求めた碎波波高 H_b と碎波水深 h_b との比を碎波点での相対水深に対して示したものである。ここで、実線は合田³⁾による碎波指標である。この図から、海底勾配 $1/10$ では $0.03 < h_b/L_0 < 0.6$, $1/50$ では $0.05 < h_b/L_0 < 0.6$ の範囲でほぼ妥当な値となっている。又、合田の指標程顕著ではないが、海底勾配の違いによる効果も同じ傾向を持っていることが分る。従って上に述べた範囲がこの理論の適用範囲と考えられる。

図-5は滝川等⁴⁾による実験と有限要素法による碎波点近傍での水粒子の流速分布を本解析と比較したものである。これによると、実験結果に比べ波頂前面のきり立ちが本解析では少ないと、有限要素法に比べ波前部

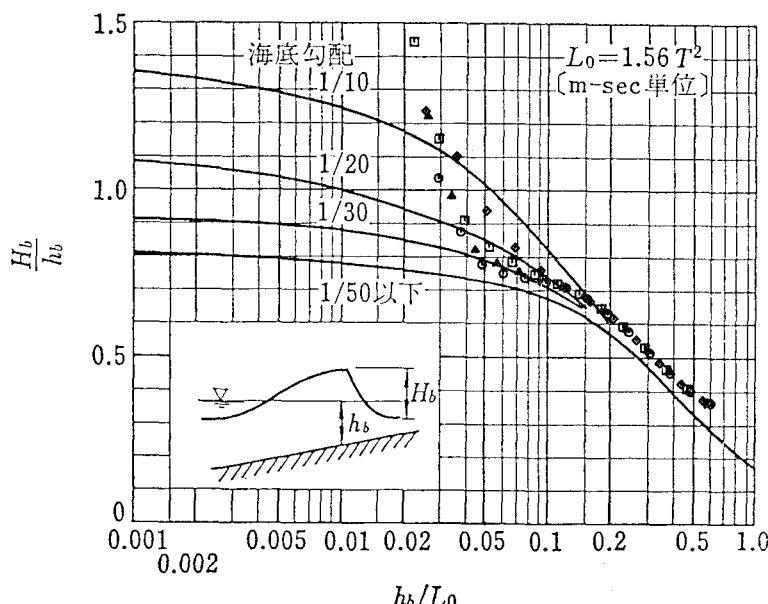


図-4 碎波波高 実線は合田の碎波指標³⁾
以下計算値で ◇ 1/10, □ 1/20, △ 1/30, ○ 1/50

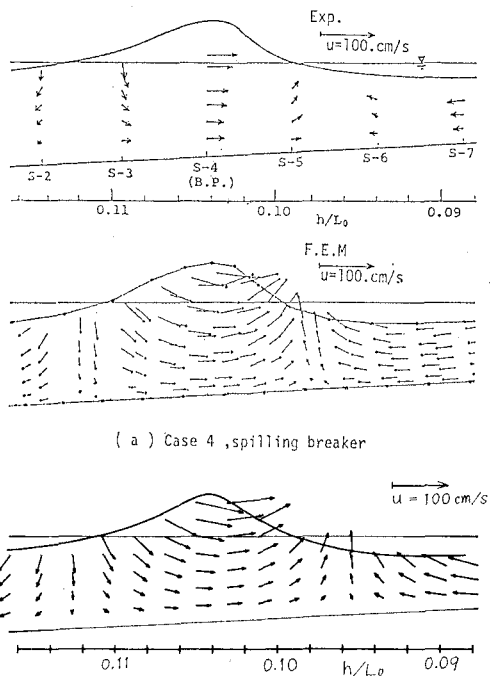


図-5 碎波近傍の流速分布

上段: 滝川等による実験結果⁴⁾ $h_b/L_0=9.193$
 中段: 滝川等による有限要素法による結果⁴⁾
 下段: 本解析による結果 $h_b/L_0=0.104$

での水平流速の正負の反転位置が異なっているものの、全体としては妥当な結果を与えていていると考えられる。

4. あとがき

媒介変数で表わされる水面波形を用いた浅水変形と碎波の発生についての解析を述べたが、本解析も静水面の回りでの Taylor 展開を用いるという意味では一種のストークス波の展開といえる。従ってその適用範囲は比較的水深の深い所にある。実際図-4 と同様、沖波波高との関係を調べると図-4 の適用範囲にある波は Spilling breaker 形の範囲にあるようである。又、図-3 や図-5 から分る様に波前面の垂直なきり立ちや波頂部の over hang は表現されてはいないものの、碎波点近傍での波の前傾化は良く表わされている。Spilling breaker 形の場合、波頂部のきり立ちや、over hang はごく波頂部だけに起こると考えれば、前述の適用範囲内での碎波発生点における流体内部の流体運動は良く記述されていることが期待される。

又、同様の解析方法を用いてクノイド波的展開も考えられるが今後の課題である。

参考文献

- 浜中建一郎・加藤一之: 有限振幅波の浅水変形に対する摂動解, 第29回海岸工学講演会論文集, pp. 65~69, 1982
- 浜中建一郎・日比康生・佐伯 浩: 高次の自由波を考慮した波の浅水変形について, 第33回海岸工学講演会論文集, pp. 119~122, 1986
- 合田良実: 港湾構造物の耐波設計, 鹿島出版会, pp. 54, 1977
- 滝川 清・岩垣雄一・中川政博: 有限要素法による斜面上の波の碎波変形と内部機構の解析, 第30回海岸工学講演会論文集, pp. 20~24, 1983